

和歌山工業高等専門学校 正員・佐々木清一  
関西大学 工学部 正員 西田一彦

### 1) まえがき

近年、解析手法の著しい発達により困難とされてきた不飽和流の解析が活発に行なわれるようになってきた。そして、フィルダムを対象とした自由水面が変動する場合や、自由水面より上部の不飽和領域における解析に貢献している。<sup>1)</sup>ところどころ、この解析手法では、不飽和領域における透水係数と水分拡散係数の把握を必要とする。著者らは、マサ土材料を使用したフィルダムの不飽和浸透解析にアプローチするため、そのために必要なパラメータを得るために土柱モデル実験を行いその結果について検討を試みた。

### 2) 試料と実験の概要

実験に用いた試料は、川砂と風化度の異なる3種類のマサ土である。まず、風化度の判定は、見かけ比重、比表面積、強度減量の諸量より統合して行つた。その結果、川砂、マサM<sub>1</sub>、2、3と番号の大きい順に風化度が高くなる。これらの試料を角柱容器(9×9×80cm)に均一な密度になるように詰める。そして、この容器にマリオット給水装置をとりつけ水頭80cmの下で、吸水と排水の実験を行つた。とくに、サクションは、圧力変換器(±1kg/cm<sup>2</sup>)の先端にセラミック製チップを取りつけ、また含水比は、 $\gamma$ 線( $Ce^{60}/100\mu Ci$ )密度計を角柱の位置に移動させて計測できるように工夫し測定した。こゆうは、自動データ計測システムの利用により長時間にわたり観測した。

### 3) 結果の考察

風化度により基本物性の異なるマサ土の不飽和浸透特性について検討を試みるために、まず浸潤前線と時間の関係を調べてみると、その結果は、Fig.1のとおりである。川砂および風化度の小さなマサ土では、両者の関係は、ほとんど直線である。しかし、風化度の大きなマサ(M3)の関係は、パラボラ形となっている。この意味は、不飽和流の理論によれば、流れの間に生ずる体積変化、すなわちマサの場合には、圧縮次第の結果であると言わなくてはならない。

したがって、この現象が、極端に大きい場合は、体積変化を考慮した不飽和方程式による解析を必要とすることを示唆するものである。<sup>2)</sup>さらに、風化度の大きいマサは、粒子も小さく表面積も大きいため同じ浸潤前線に到達する時間が長い。この事実は、今後のパラメータにも著しく反映している。

不飽和土のパラメータは、一般に不飽和方程式(1)に基づいて決定される。そして、(1)式は、Boltzmann変換

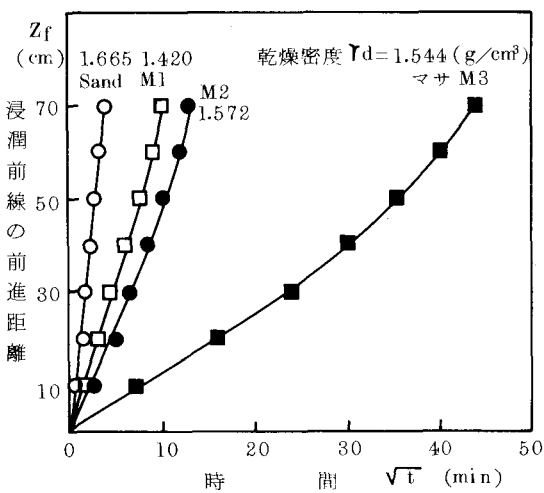


Fig. 1 前進距離と時間の関係

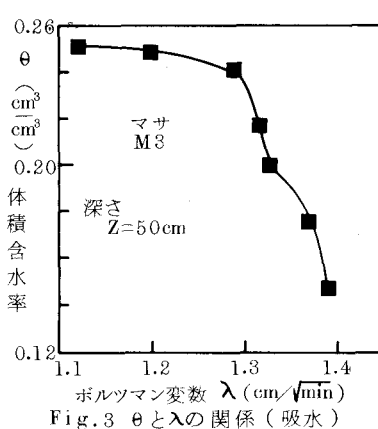


Fig. 3  $\theta$ と入の関係(吸水)

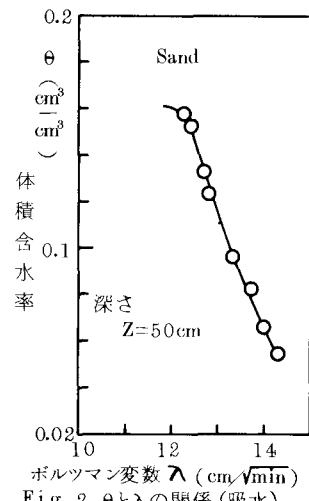


Fig. 2  $\theta$ と入の関係(吸水)

$$\frac{\partial \theta}{\partial t} = \frac{\partial}{\partial z} \left( D_\theta \frac{\partial \theta}{\partial z} \right) \quad \text{ただし, } \theta \text{ 体積含水率} \left( \frac{\text{cm}^3}{\text{cm}^3} \right)$$

$D_\theta$  水分拡散係数  $\left( \frac{\text{cm}^2}{\text{s}} \right)$

変換入  $= Z / \sqrt{t}$ ,  $\theta = f(\lambda)$  により解かれる。

Fig.2 および Fig.3 は、体積含水率と Boltzmann 变数との関係について示したものである。この図より、体積含水率は、両試料とも Boltzmann 变数の増加によりユニークな曲線を描いて減少している。さらに、風化度の効果は、これらとの関係にも明白であり、風化度大なるマサでは、Boltzmann 变数が小さく高い体積含水率を示す傾向にある。

水分拡散係数は、(1)式から導びかれて(2)式で与えられる。

$$D_\theta = -\frac{1}{2} \left( \frac{d\lambda}{d\theta} \right)_{\theta_0}^{0s} \lambda d\theta \quad \text{ただし, } \theta_0 \text{ 初期含水率} \text{ (飽和)} \quad \text{(2)}$$

$\theta_s$  飽和の含水率  $\left( \frac{\text{cm}^3}{\text{cm}^3} \right)$  の手法は、Bruce と Klute

が始めたもので、Infiltration Method と言われているので、各時刻の体積含水率の分布から、上記のように体積含水率と Boltzmann 变数との関係を求め、この図上で  $d\lambda/d\theta$  および  $\int_{\theta_0}^{\theta_s} d\theta$  を求めると水分拡散係数がえられる。このようにして得られた結果が、Fig.4 と Fig.5 である。とくに、このデータは、土柱 50 cm の所の吸水中における一例である。この図より、兩者の関係は、半対数紙上でほぼ直線的様子を呈している。そして、風化度の大きいマサほど、体積含水率が高いにもかかわらず水分拡散係数は、小さい値を示している。これは、風化度の大きいマサほど水分の浸透能が低いことを物語っている。さて、吸排水中ににおける不飽和透水係数について、従来より各種の方法が提案されていくが、とくに、非定常法による場合、排水時と比較すると吸水時では、水分の不均一分布、水分の深さ方向の経時変化の測定の煩雑さ等の理由により良いデータを得るには、かなりの数のくり返し実験が必要となる。そのためかデータも少ないので現状である。そこで、割合簡単に精度よく求められる水分拡散係数を利用して式(3)の関係を求めた。  
 $K_\theta = D_\theta / \frac{d\theta}{d\psi} \quad \text{ただし, } K_\theta \text{ 不飽和透水係数} \text{ (m/s), } \psi \text{ サクション (cm)}$

不飽和透水係数と体積含水率の関係は、Fig.6 と Fig.7 で示されるところである。その結果、不飽和透水係数は、体積含水率の増減と深い関係にあり体積含水率の減少と共に徐々に小さくなる様子を示している。ところで、川砂に比較して風化度の大きいマサでは、体積含水率が高いにもかかわらず、透水係数は小さくなる。

#### 4) まとめ

マサ土の不飽和透水係数を求める方法として水分拡散係数に基づいて算出する手法の有用性を示した。

#### 5) 参考文献

- 久樂他(1981)「降雨と水位上昇にともづく堤体内の非定常浸透流」,  
第16回国土質工学研究発表会, PP.1133~1136
- R.N.ヤング他(1975)「土質工学の基礎」, 鹿島出版, PP.68~116

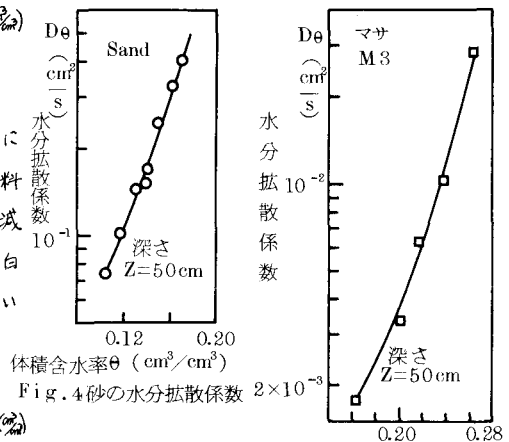
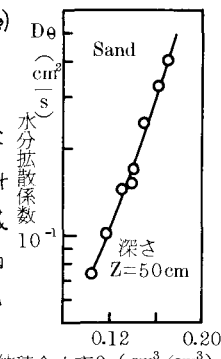


Fig.4 砂の水分拡散係数  $2 \times 10^{-3}$  体積含水率  $\theta \text{ (cm}^3/\text{cm}^3\text{)}$   
Fig.5 マサの水分拡散係数

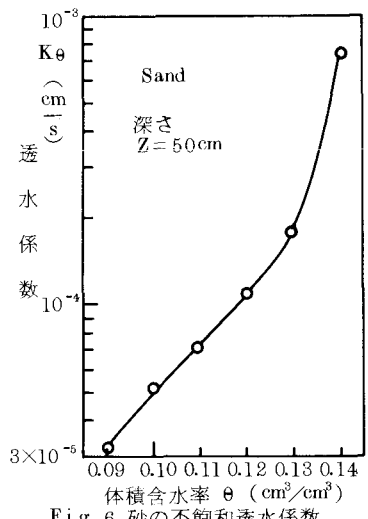


Fig.6 砂の不飽和透水係数

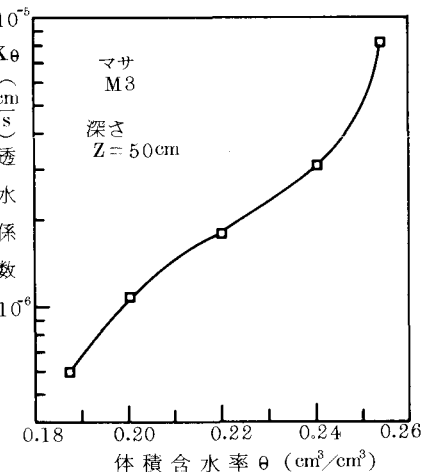


Fig.7 マサの不飽和透水係数